

بررسی اثر سرب بر ویژگی‌های الکتروفیزیولوژیک جریان‌های کلسیمی نورون (*Helix aspersa*) F77 حلزونی باغی

پروین زارعیان^۱، مهار جان احمدی^۱، سید محمد فیروزآبادی^۱، فرشته معتمدی^۱

۱- دانشگاه علوم پزشکی شهید بهشتی، دانشکده پزشکی، بخش فیزیولوژی، مرکز تحقیقات علوم اعصاب

۲- دانشگاه تربیت مدرس، بخش فیزیک پزشکی

چکیده

کانال‌های یونی عملکرد سلول در بافت‌های تحریک پذیری چون قلب و مغز و نیز در اندام‌ها و بافت‌های تحریک ناپذیری همچون کبد و بافت پوششی را کنترل می‌کنند. در تحقیق حاضر، اثر سرب بر ویژگی‌های الکتروفیزیولوژیک جریان‌های کلسیمی در غشاء جسم سلولی نورون F77 حلزون باغی (*Helix aspersa*) مورد بررسی قرار گرفت. جریان‌های کلسیمی در پتانسیل عمل و جریان‌های کلسیمی در حضور و عدم حضور سرب با استفاده از روش‌های ثبت دو میکروالکترودی پتانسیل عمل (Voltage Clamp) مورد مطالعه قرار گرفت. دو نوع جریان کلسیمی فعال شده از ولتاژ‌های بالا (Current Clamp) ثبت شد: جریان حساس به نیوفلپین و جریان مقاوم به نیوفلپین.

کاربرد خارج سلولی سرب در غلظت‌های ۰/۱ و ۳ میکرومولار موجب تغییر الگوی شلیک سلول F77 شد. دامنه و طول مدت پتانسیل عمل کلسیمی نیز کاهش یافت. یافته‌های Voltage Clamp نشان داد که بیش از ۵۰٪ جریان کلسیمی نوع HVA به وسیله سرب مهار گردید. اثر مهار کنندگی سرب بر جریان کلسیمی وابسته به زمان می‌باشد. بر اساس نتایج حاصل می‌توان نتیجه گیری کرد که احتمالاً سرب با تأثیر بر کانال‌های کلسیمی HVA به ویژه نوع L عمل می‌نماید.

واژه‌های کلیدی: پتانسیل عمل، جریان کلسیمی، سرب، Current Clamp، Voltage Clamp

مقدمه

نیست و اگر چه نشان داده شده است که یون سرب باعث مهار کانال‌های یونی از جمله کلسیم و پتاسیم می‌شود، لکن مکانیسم اثر و به ویژه نوع کانال یونی کلسیمی که تحت اثر مهاری سرب قرار می‌گیرد، هنوز مشخص نشده است. بعضی از اثرات سمی این فلز می‌تواند به علت تداخل آن با جریان‌های یونی از جمله جریان‌های رو به داخل کلسیمی از غشاها سلولی باشد [۳۱].

یون کلسیم نقش کلیدی در تنظیم و تعدیل تعداد

یون سرب قادر عملکرد بیولوژیک و فوق العاده سمی است. علاوه بر این به آسانی از سد خون - مغز عبور می‌کند [۲۳]. مقادیر بالای سرب باعث اثرات متعددی از جمله تخریب گلbul‌های قرمز، عضلات، لوله گوارش و نیز آسیب‌های مغزی می‌شود. در کودکان سرب باعث کاهش فعالیت هوشمندانه، یادگیری، قدرت شناوری و تشدید فعالیت بدنی (Hyperactivity) می‌گردد [۱۲]. با این حال جایگاه اثر سرب در مغز به خوبی روشن

دبال استفاده حاد و افزایش جریان کلسمی را به دبال استفاده مزمن آن گزارش کردند [۹، ۱۶]. در این بررسی‌ها اثر سرب روی کل جریان کلسمی بررسی شده، لکن نوع کانال کلسمی را که بیشتر تحت تأثیر سرب قرار می‌گیرد هنوز مشخص نشده است.

هدف از این تحقیق حاضر با استفاده از تکنیک‌های ثبت داخلی سلولی (Voltage and Current Clamp) شناسایی و تعیین انواع مختلف کانال‌های کلسمی، مکانیسم اثر سرب و تأثیر آن روی خصوصیات کیتیکی و بیوفیزیکی کانال‌های کلسمی و پتانسیل عمل کلسمی (Ca^{2+} -Spike) است.

مواد و روش‌ها

الف - آماده سازی سلول: حلزون‌ها از باغ‌های شمال کشور جمع آوری شدند. بعد از برداشتن صدف حیوانات با استخوان شکن، گانگلیون Circum-oesophageal خارج شده و در محفظه ثبت که توسط خارج شده و در محفظه ثبت که توسط (USA Dow Corning) Sylgard 184 قرار گرفت. آزمایش‌ها بر روی جسم سلولی نورون F77 واقع در گانگلیون حاشیه‌ای راست که در واقع بخشی از گانگلیون Cicrum-oesophageal حیوان است، انجام شد. تشخیص این نورون بر اساس موقعیت، اندازه ($120 \mu\text{M}$)، رنگ، داشتن رنگدانه، پتانسیل استراحت، شکل و مدت پتانسیل عمل انجام شد [۲۵]. بافت‌های پیوندی به صورت مکانیکی و بدون استفاده از آنزیم‌های هضم کننده، با استفاده از پنس‌های بسیار ظریف برداشته شدند.

ب - داروها و مواد شیمیایی بکار رفته: ترکیب مایع خارج سلولی طبیعی بر حسب میلی مول شامل، Hepes: ۸۰، NaCl : ۵، KCl : ۴، CaCl_2 : ۵ و MgSO_4 : ۵

بسیاری از فرآیندهای فیزیولوژیک از جمله رهایش نوروترانسمیتر، یادگیری، حافظه، پیام رسانی عصبی و سلولی و نیز کنترل بیوشیمی سلول دارد [۳۸، ۴۰، ۲۴]. یون کلسیم از طریق کانال‌های کلسمی وابسته به لیگاند، کانال‌های کلسمی وابسته به ولتاژ و یا معاوضه کننده سدیم - کلسیم وارد سلول می‌شود.

کانال‌های کلسمی وابسته به ولتاژ متعددی در سلول‌های عصبی مهره‌داران و بی مهرگان شناسایی شده‌اند و روش‌های بیوفیزیکی، فارماکولوژیکی و مولکولی جهت شناسایی و مجزا نمودن انواع مختلف جریان کلسمی بکار گرفته شده است. با بکارگیری معیارهای بیوفیزیکی، دو نوع جریان کلسمی وابسته به ولتاژ در بسیاری از سلول‌های عصبی شناسایی گردیده است: جریان کلسمی فعال شده در ولتاژ پایین (Low Voltage Activated) و یا LVA جریان کلسمی فعال شده در ولتاژ بالا یا (High Voltage Activated) HVA این دو از نظر پتانسیل فعال شدن، سرعت غیر فعال شدن و حساسیت به مهار کننده‌ها با هم فرق دارند. جریان‌های کلسمی LVA پتانسیل‌های هیپرپلاریزه‌تری نسبت به جریان‌های کلسمی HVA فعال شده دارند و سریعاً غیر فعال می‌گردند [۴۳، ۳۵، ۳۰، ۱۵].

هر کدام از جریان‌های کلسمی نقش خاصی در عمل سلولی دارند. کانال‌های کلسمی HVA در القاء تقویت دراز مدت (LTP) و رهایش نوروترانسمیتر [۲۷، ۲۳] و کانال کلسمی نوع T در رشد سلول، ترشح هورمون‌ها از سلول‌های نورواندوکرین، فعالیت ریتمیک در بعضی ساختمان‌های عصبی و سلول‌های مولد ضربان قلب [۱۵] نقش دارند.

مطالعات پیشین تأثیر سرب را بر کانال‌های کلسمی وابسته به ولتاژ، کاهش در دامنه جریان کلسمی را به

۱۰ برابر و فیلتراسیون ۳۰ کیلوهرتز اندازه گیری می گردید. الکترود مرتع یا پل آگاری حاوی KCl سه مولار و سیم نقره روش شده توسط AgCl از یک طرف در محلول خارج سلولی قرار می گرفت و از طرف دیگر به وسیله میکروالکترود ثبت کننده ground با استفاده از روش های Current Clamp و Voltage Clamp دو میکروالکترودی [۲۱] ویژگی های تحریک پذیری سلول و نیز خصوصیات الکتروفیزیولوژیک کانال های یونی فعال شده، بررسی شدند. در Clamp Clamp برای ثبت فعالیت کانال های کلسیمی در هر گروه از دو ولتاژ نگهدارنده -۹۰ و -۴۰ میلی ولت به ترتیب برای فعال شدن کانال های کلسیمی LVA و HVA استفاده شد. در حالتی که پتانسیل نگهدارنده -۹۰ میلی ولت بود از پتانسیل های فرمانی بین -۸۰ تا -۴۰ میلی ولت و در حالتی که پتانسیل نگهدارنده -۹۰ میلی ولت بود از پتانسیل های فرمانی بین -۳۰ تا -۵۰ میلی ولت استفاده می شد. مدت هر پتانسیل فرمانی ۵۰۰ میلی ثانیه و فاصله آن با پتانسیل فرمانی بعدی ۵۰۰ میلی ثانیه بود. به این ترتیب جریان های یونی با سرعت یک بار در دقیقه برآنگیخته می شدند. به منظور ثبت فعالیت الکتریکی سلول و بررسی ویژگی های غیر فعال Current Clamp (Passive) غشاء سلول در Clamp چریان های دپلاریزه کننده و هیپرپلاریزه کننده استفاده گردید. پاسخ ها به وسیله آمپلی فایر دریافت و تقویت شده، آنگاه با تواتر نمونه برداری ۳۰ کیلوهرتز و توسط برنامه نرم افزاری Pulse که در محیط Matlab تحت ویندوز نوشته شده بود جمع آوری، به داده های رقمی تبدیل و به صفحه کامپیوتر انتقال یافتند. به این ترتیب پتانسیل های عمل ثبت گردید و تحت شرایط Voltage Clamp میزان جریان های یونی به ازاء هر پتانسیل فرمانی به صورت

Glucose: ۱۰ سدیمی و رو به خارج پتانسیمی، محلول فاقد سدیم و پتانسیم با جایگزین کردن NaCl و KCl توسط TEA-Cl (۸۴ mM) (Aldrich) بکار رفت. حذف کامل جریان رو به داخل سدیمی و رو به خارج پتانسیمی با ثبت پتانسیل عمل کلسیمی که کفه طولانی از مشخصات بارز آن می باشد، تأیید می شد.

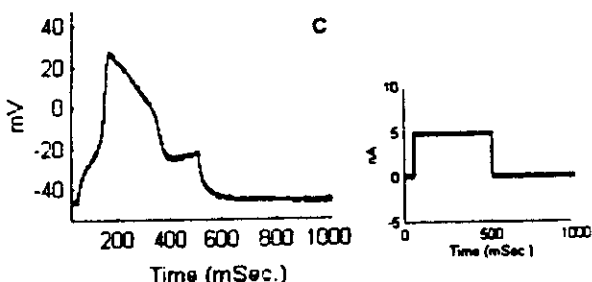
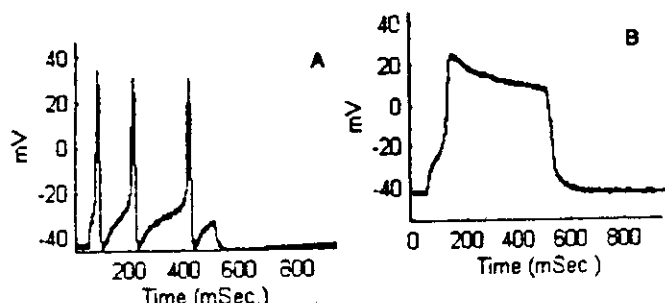
برای مهار و شناسایی کانال های کلسیمی از کلرید نیکل با غلظت ۴ mM (Sigma) و نیوفدیپین با غلظت ۱ μ M (Sigma) که در اتانول ۲٪ حل شده بود و در نور کم نگه داشته می شد، استفاده می گردید.

به عنوان محلول مادر از محلول استاندارد سرب (1010mg/mg/ml of pb in 1Wt%HNO₃, Aldrich) استفاده شد. در محلول پروفیوژن از دو غلظت نهایی ۰/۶ و ۳ میکرومولار سرب استفاده گردید. pH محلول خارج سلولی بین ۷/۶ و ۷/۸ و اسモلاریته رینگر طبیعی ۱۹۷/۳±۱/۵ و رینگر بدون سدیم - پتانسیم ۲۰۴/۲±۱/۷ میلی اسمول بود.

الکترودها و ثبت الکتریکی: میکروپیپت های شیشه ای حاوی فیلامان به وسیله دستگاه میکروالکترود پولر عمودی (Narishige) کشیده شدند. به منظور کاهش Capacitive coupling سلولی، نوک میکروالکترودها تا فاصله ۱ میلی متری از نوک آنها با پارافیلم پوشیده شدند. یکی از میکروالکترودها برای تزریق جریان و دیگری برای ثبت تغییرات در پتانسیل غشا یا ثبت جریان های یونی استفاده شد. میکروالکترودهای داخل سلولی با KCl سه مولار پر شده و مقاومت میکروالکترودها (۳-۷ M Ω) در مایع خارج سلولی و داخل سلولی با آمپلی فایر Axoclamp 2B (Axon Instrument) با قدرت تقویت

منحنی جریان - ولتاژ با استفاده از برنامه Analyse برای Current Clamp، پتانسیل‌های عمل با تزریق ۵ نانو آمپر جریان دپلاریزه برانگیخته شدند. مدت پتانسیل عمل در تمامی گروه‌ها در ۵۰٪ دامنه پتانسیل عمل (APD50) محاسبه شد [۳۴].

ثبت فعالیت الکتریکی و جریان‌های بونی سلول در رینگر طبیعی: شکل (A) نمونه‌ای از پتانسیل عمل برانگیخته شده در رینگر طبیعی و جدول ۱ برخی از ویژگی‌های آن را نشان می‌دهد. بعد از رسیدن پتانسیل غشاء به آستانه شلیک، پتانسیل غشاء به سرعت دپلاریزه می‌شود و به حداقل قله خود که نزدیک $25/2 \pm 1/4$ میلی ولت است می‌رسد و سپس وارد مرحله دپلاریزاسیون می‌گردد.



شکل ۱- پتانسیل عمل برانگیخته شده متعاقب تزریق ۵ نانو آمپر جریان دپلاریزه کننده به مدت ۵۰۰ میلی ثانیه از پتانسیل استراحت غشاء در رینگر طبیعی (A)، در رینگر بدون سدیم - پتانسیل قبل از افزودن نیდیپین (B)، در رینگر بدون سدیم - پتانسیل بعد از افزودن نیدیپین (C).

منحنی جریان - ولتاژ با استفاده از برنامه Analyse برای hR نمونه رسم می‌شد. با استفاده از رسم منحنی جریان - ولتاژ در تجزیه تحلیل یافته‌های ثبت داخل سلولی می‌توان به آستانه فعال شدن کanal، حداقل جریان بونی و ولتاژی که جریان به حداقل میزان خود می‌رسد و نیز پتانسیل معکوس آن بی برد. تمامی ثبت‌ها در دمای اتاق انجام شد. برای بدست آوردن ثابت زمانی مرحله فعال شدن جریان‌های بونی ثبت شده از معادلات توانی (n بین ۱ تا ۴) استفاده شد.

$$I = A_0 + A_1 \exp^{\frac{t}{\tau_1}} + A_2 \exp^{\frac{t}{\tau_2}} + \dots$$

که این معادله A_0 , A_1 و A_2 دامنه جریان در زمان صفر و τ زمان و τ_1 و τ_2 ثابت زمانی است.

میانگین حداقل ۶ پاسخ در هر گروه برای پردازش اطلاعات مورد استفاده قرار گرفت و نتایج به صورت $\text{Mean} \pm \text{S.E.M}$ نشان داده شده است. برای تجزیه و تحلیل داده‌ها از روش‌های آماری ANOVA یک طرفه و Student's t-test استفاده گردید.

نتایج

نتایج این تحقیق بر اساس ثبت‌های بدست آمده از نورون‌های F77 تحت شرایط Current Clamp و F77 Voltage Clamp گزارش شده است. نورون‌های F77 در عدم حضور تحریک خارجی در بعضی از موارد دارای فعالیت خود به خودی می‌باشند و با تزریق جریان‌های دپلاریزه به مدت ۵۰۰ میلی ثانیه و در محدوده بین ۱ تا ۱۰ نانو آمپر الگوی شلیک منظمی را نشان می‌دهند.

برای مطالعه و مقایسه فعالیت الکتریکی و تحریک‌پذیری سلول در تمامی گروه‌ها، تحت شرایط

را با پتانسیل عمل نیزه‌ای القاء شده در رینگر طبیعی نشان می‌دهد ($P<0.05$). افزودن نیوفدیپین ($1\text{ }\mu\text{M}$) مهار کننده اختصاصی کanal کلسیمی نوع L، به محلول خارج سلولی باعث کاهش معنی‌دار مدت پتانسیل عمل شد ($P<0.05$). شکل ۱ نمونه‌ای از این پتانسیل عمل را در حضور نیوفدیپین و جدول ۱ برخی از ویژگی‌های آن را نشان می‌دهد. طول مدت کله پتانسیل عمل کاهش یافته است و فاز رپلاریزاسیون به دلیل مهار بخشی از جریان پتانسیمی رو به خارج فعال شده توسط کلسیم کاهش یافته است.

جریان کل کلسیمی پس از مهار جریان‌های رو به خارج پتانسیمی و رو به داخل سدیمی ثبت شد. برخی از ویژگی‌های الکتروفیزیولوژیک جریان کلسیمی فعال شده از دو پتانسیل نگهدارنده -90 و -40 میلیولت در جدول ۴ آمده است. قله جریان کلسیمی از پتانسیل نگهدارنده -90 میلیولت حدود 13% بیشتر از قله جریان کلسیمی در -40 میلیولت است. هر دو پتانسیل نگهدارنده متنابه آن قله جریان را داریم، در هر دو پتانسیل نگهدارنده منابع است. همچنین منحنی جریان - ولتاژ در این دو پتانسیل نگهدارنده بر هم قابل انطباق هستند (شکل A). برای بررسی دقیق‌تر و شناسایی انواع جریان‌های کلسیمی از مهارکننده اختصاصی کanal کلسیمی نوع L یعنی نیوفدیپین ($1\text{ }\mu\text{M}$) استفاده شد. بعد از افزودن نیوفدیپین به مایع خارج سلولی، قله جریان کلسیمی در پتانسیل‌های نگهدارنده -90 و -40 میلیولت به ترتیب 54% و 41% کاهش را نشان داد. این نتایج نشان می‌دهند که احتمالاً بیش از 50% کل جریان کلسیمی در جسم سلولی F77 از طریق کanal‌های کلسیمی نوع L حمل می‌شوند.

ویژگی‌های الکتروفیزیولوژیک جریان مقاوم به نیوفدیپین در جدول ۴ نشان داده شده است. همانطور که منحنی جریان ولتاژ نشان می‌دهد، نیوفدیپین سبب جابجایی

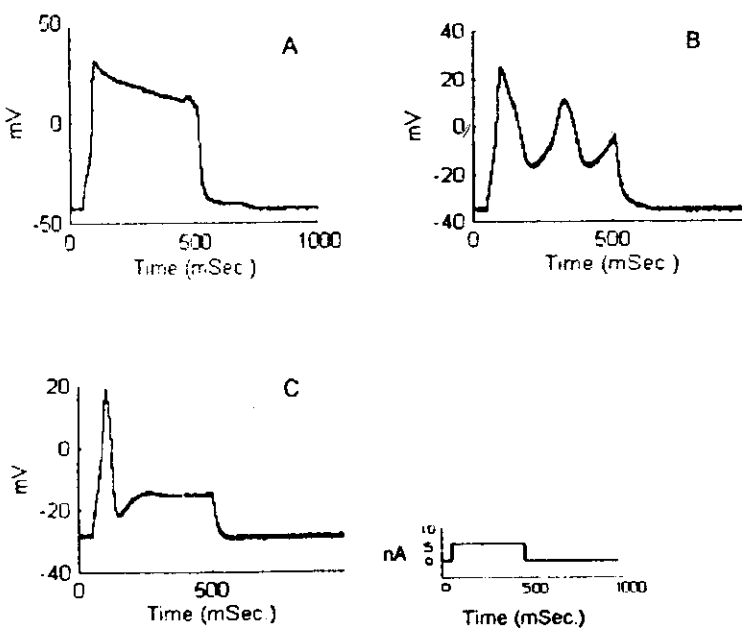
ثبت جریان‌های یونی غشاء سلول F77 در رینگر طبیعی تحت شرایط Voltage Clamp نشان می‌دهد که در این سلول یک جریان یونی بزرگ رو به داخل که به سرعت غیر فعال می‌شود و یک جریان یونی بزرگ رو به خارج و تأخیری که عمدتاً توسط یون پاتاسیم حمل می‌شود، وجود دارد (شکل ۳A). جریان رو به داخل شامل جریان‌های سدیمی و کلسیمی است. جریان رو به داخل کلسیمی که نسبتاً کوچک است وقتی می‌تواند خود را نشان دهد که شرایط برای ثبت این جریان فراهم شود (به بخش روش‌ها مراجعه شود).

برای ثبت جریان‌های یونی فعال شده از ولتاژ‌های بالا در رینگر طبیعی از پتانسیل نگهدارنده -40 - میلیولت استفاده شد. پتانسیل آستانه برای فعال شدن جریان‌های رو به داخل، حدود -30 - -40 میلیولت است و مقدار جریان $\pm 32/66$ نانوآمپر است. منحنی جریان - ولتاژ در شکل ۳B نشان داده شده است. از آنجا که مطالعه حاضر به منظور شناسایی و تعیین خصوصیات جریان‌های کلسیمی انجام شده است، بنابراین سعی شد جریان‌های کلسیمی را از دو جریان یونی سدیمی و پتانسیمی جدا نمائیم.

ثبت فعالیت الکتریکی و جریان‌های کلسیمی در رینگر بدون سدیم - پتانسیم : شکل ۱ نمونه‌ای از پتانسیل عمل را در رینگر بدون سدیم - پتانسیم و جدول ۱ برخی از ویژگی‌های پتانسیل عمل کلسیمی را نشان می‌دهد. همانطور که از شکل ۱ پیداست این پتانسیل عمل، پتانسیل عمل کله‌داری است که به دنبال مرحله رپلاریزاسیون، پتانسیل متعاقب هیرپلاریزاسیون دیده نمی‌شود. همانند آنچه که در سلول ماهیچه قلبی دیده می‌شود. دامنه، مدت و قله پتانسیل عمل تفاوت معنی‌داری

تحت تأثیر سرب ($M_{0.6} \mu M$) مدت پتانسیل عمل در دقایق هشتم و دوازدهم ۵۸٪ و قله پتانسیل عمل در دقیقه دوازدهم ۲۳٪ کاهش معنی دار را نسبت به حالت کنترل نشان می دهد (جدول ۲). اثر سرب وابسته به زمان است و با گذشت زمان اثر کاهش دهنده‌گی آن بر ویژگی‌های پتانسیل عمل (مدت و قله پتانسیل عمل) افزایش بیشتری می‌یابد.

اندکی در این منحنی نسبت به منحنی جریان کل کلسیمی در عدم حضور نیفتیپین به سمت پتانسیل‌های هیپرپلاریزه‌تر شده است. میزان جابجایی قله جریان $0.6 \mu M$ میلی‌ولت از پتانسیل نگهدارنده ۹۰-۴۰ میلی‌ولت (شکل ۴B) و ۱ میلی از پتانسیل نگهدارنده ۴۰-۴۰ میلی‌ولت (شکل ۴C) می‌باشد. افزودن نیکل ($4 mM$) در حضور نیفتیپین به محلول خارج سلولی، منجر به مهار کامل جریان کلسیمی (جریان مقاوم به نیفتیپین) در هر دو پتانسیل نگهدارنده شد.



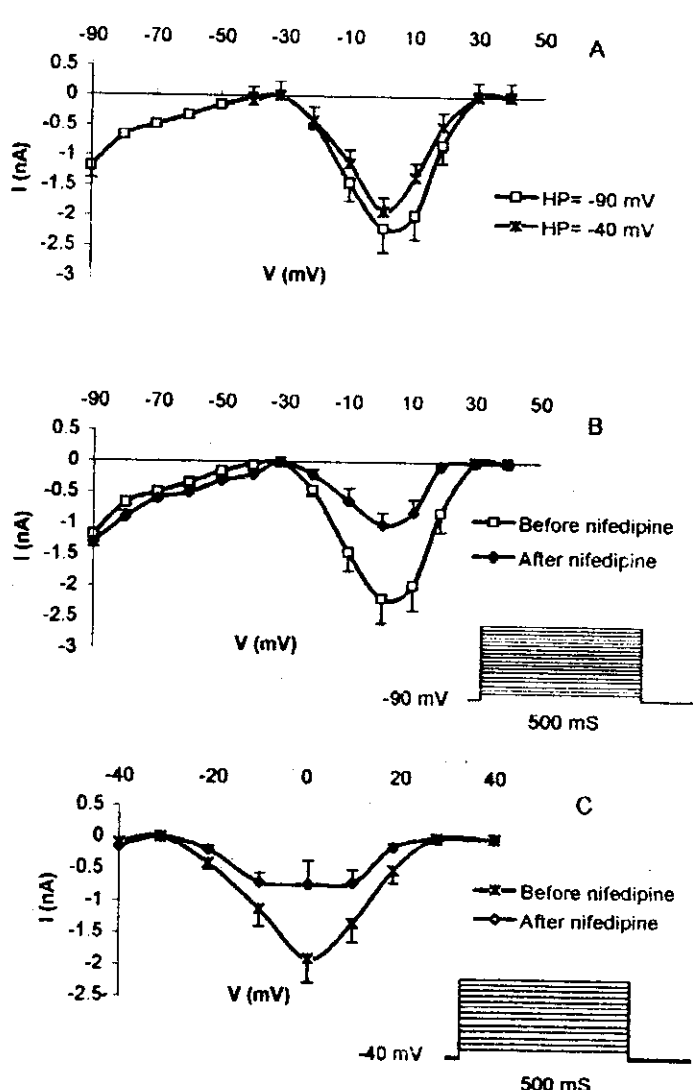
شکل ۲- ثبت پتانسیل‌های عمل کلسیمی متعاقب ۵ نانوآمپر جریان دپلاریزه کننده به مدت ۵۰۰ میلی ثانیه از پتانسیل استراحت غشاء پتانسیل عمل کلسیمی در رینگر فاقد سدیم - پتانسیم، قبل از بکار بردن سرب ($0.6 \mu M$ میکرومولار) (A)، ۵ دقیقه بعد از استفاده از سرب ($0.6 \mu M$ میکرومولار) (B)، ۵ دقیقه بعد از استفاده از سرب ($0.6 \mu M$ میکرومولار) (C).

متعاقب کاربرد خارج سلولی سرب ($0.6 \mu M$)
پتانسیل استراحت غشاء، مدت پتانسیل عمل و قله پتانسیل عمل در جسم سلولی نورون F77 ۱۲ دقیقه پس از افزودن سرب ($0.6 \mu M$) به محیط خارج سلولی به طور کامل مهار گردید.

همچنین ثابت زمانی مرحله فعال شدن جریان کلسیمی در سه پتانسیل فرمانی -10 ، 0 ، $+10$ میلی‌ولت با استفاده از معادلات توانی (exponential) به دست آمد. مرحله فعال شدن جریان کلسیمی با معادله سه توانی ($n=3$) برازش شد (بو بخش روش‌ها مراجعه شود). بنابراین فعال شدن جریان کلسیمی با سه ثابت زمانی سریع، متوسط و آهسته انجام می‌شود. ثابت زمانی سریع (τ_f ، متوسط (τ_m) و آهسته (τ_s) در پتانسیل فرمانی که بیشترین جریان را داریم ($1 \pm 0.6 mV$)، به ترتیب 48 ± 0.48 ، 20.2 ± 0.05 و 2.47 ± 0.04 میلی‌ثانیه است. پس از شناسایی و تعیین خصوصیات الکتروفیزیولوژیک و فارماکولوژیک جریان‌های کلسیمی وابسته به ولتاژ در جسم سلولی F77، مکانیسم اثر سرب بر جریان‌های کلسیمی مورد بررسی قرار گرفت.

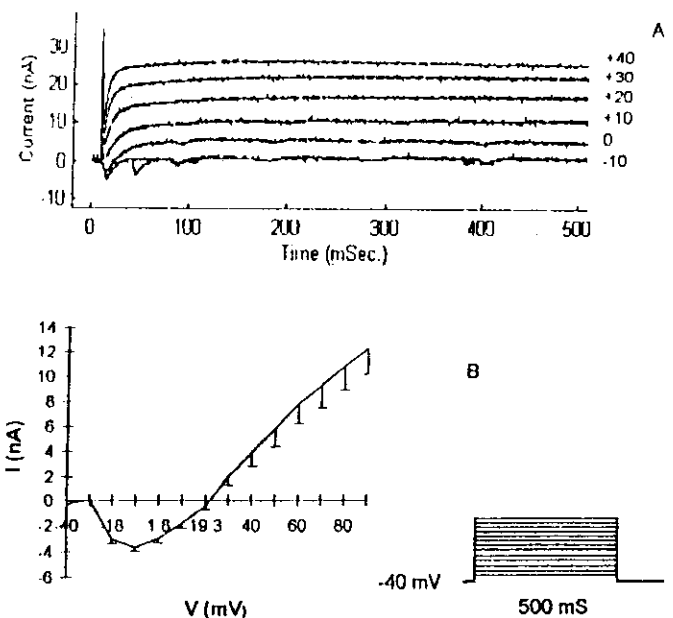
اثر سرب بر پتانسیل عمل کلسیمی و جریان‌های کلسیمی وابسته به ولتاژ

سرب با دو غلظت 0.6 و $3 \mu M$ به محلول خارج سلولی افزوده شد. شکل ۲ نمونه‌هایی از پتانسیل عمل را قبل و بعد از افزودن سرب نشان می‌دهد. پتانسیل عمل در دقایق ۵، ۸ و ۱۲ بعد از افزودن سرب ثبت شد.



شکل ۴- (A) منحنی جریان - ولتاژ برای جریان کلسیمی ثبت شده از ولتاژ نگهدارنده -۹۰- میلی ولت قبل از افزودن نیفیدپین ($1 \mu\text{M}$) (B) منحنی جریان - ولتاژ برای جریان کلسیمی ثبت شده از ولتاژ نگهدارنده -۴۰- میلی ولت قبل از افزودن نیفیدپین ($1 \mu\text{M}$) و بعد از نیفیدپین ($1 \mu\text{M}$). (C) منحنی جریان - ولتاژ برای جریان کلسیمی ثبت شده از ولتاژ نگهدارنده -۴۰- میلی ولت به تأثیر سرب (۳ μM).

کلسیمی می شود (شکل ۵ C و D). تأثیر سرب بر خصوصیات الکتروفیزیولوژیک جریان کلسیمی نیز وابسته به زمان است به طوری که با گذشت زمان اثر آن افزایش می یابد. منحنی جریان - ولتاژ در حضور هر دو غلظت

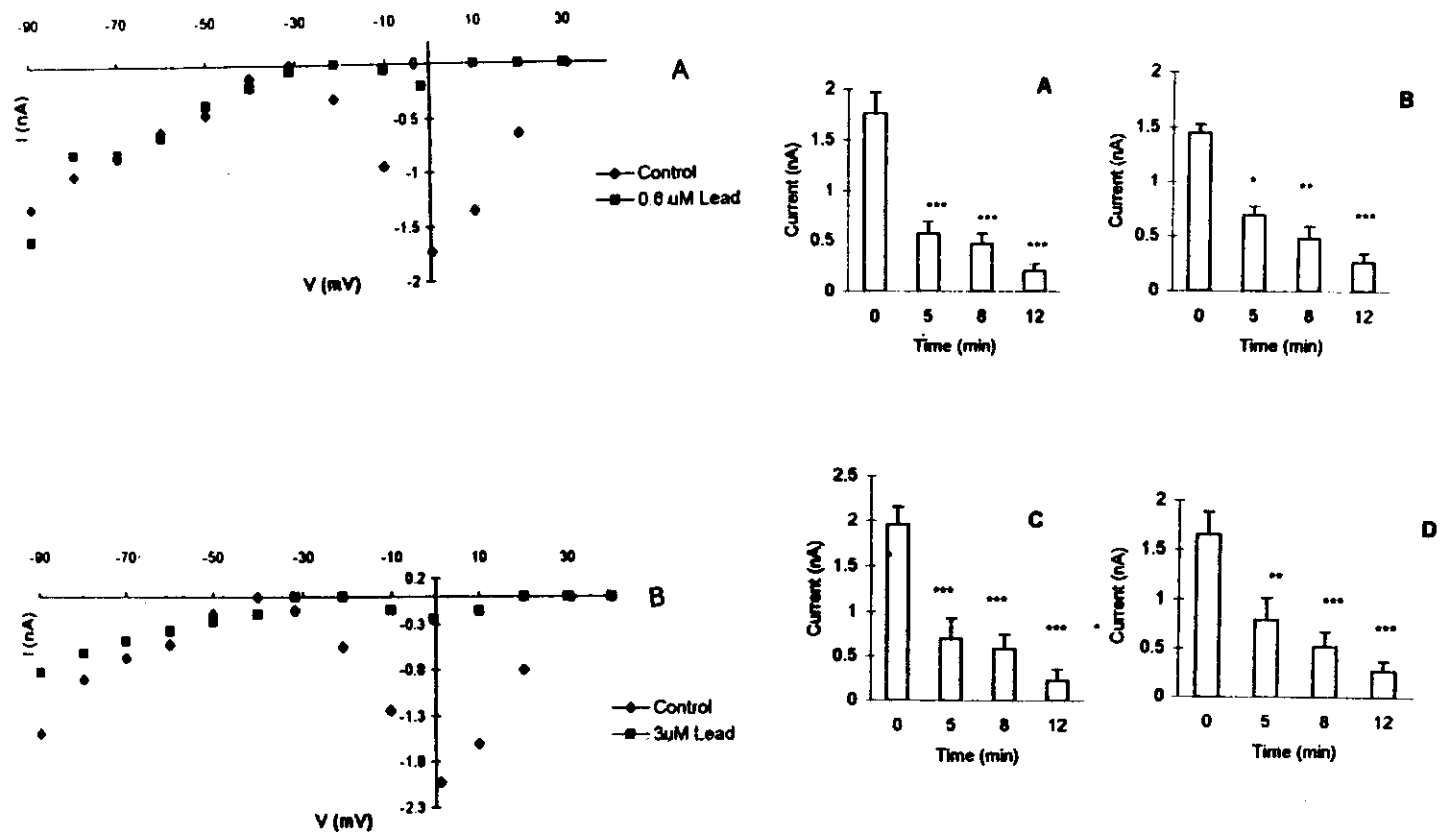


شکل ۳- گروهی از جریان های یونی ثبت شده در رینگر طبیعی و توسط پالس های ولتاژی از ولتاژ نگهدارنده -۴۰- میلی ولت به فواصل ۱۰ میلی ولت (A). منحنی جریان - ولتاژ در رینگر طبیعی (B).

مقایسه اثر دو غلظت سرب روی ویژگی های پتانسیل عمل، تفاوت معنی داری را تا دقیقه هشتم نشان نمی دهد.

جریان کلسیمی فعال شده از پتانسیل نگهدارنده -۹۰- میلی ولت، در دقایق پنجم، هشتم و دوازدهم بعد از افزودن سرب ($3 \mu\text{M}$) به ترتیب موجب $73\% / 64\%$ و 88% ، در حالیکه از پتانسیل نگهدارنده -۴۰- میلی ولت به ترتیب موجب $52\% / 66\%$ و 73% کاهش معنی دار می شود (شکل ۵ A و ۵ B).

افزودن سرب ($3 \mu\text{M}$) منجر به کاهش جریان کلسیمی فعال شده از پتانسیل نگهدارنده -۹۰- میلی ولت در دقایق پنجم، هشتم و دوازدهم به ترتیب $60\% / 71\%$ و 87% کاهش در حالیکه از پتانسیل نگهدارنده -۴۰- میلی ولت موجب $52\% / 69\%$ و 84% کاهش در جریان



شکل ۶- (A) اثر سرب ($0.6\text{ }\mu\text{M}$ میکرومولا) روی منحنی جریان - ولتاژ جریان کلسیمی ثبت شده از پتانسیل نگهدارنده $-90\text{-}40$ میلی ولت قبل از افزودن سرب ($0.6\text{ }\mu\text{M}$ میکرومولا) (◆) بعداز افزودن سرب ($0.6\text{ }\mu\text{M}$ میکرومولا) (■). (B) اثر سرب ($3\text{ }\mu\text{M}$ میکرومولا) روی منحنی جریان - ولتاژ جریان کلسیمی فعال شده از پتانسیل نگهدارنده $-90\text{-}40$ میلی ولت قبل از افزودن سرب ($3\text{ }\mu\text{M}$ میکرومولا) (◆) بعد از افزودن سرب ($3\text{ }\mu\text{M}$ میکرومولا) (■).

شکل ۶- اثر مهاری وابسته به زمان سرب بر جریان کلسیمی. اثر سرب ($0.6\text{ }\mu\text{M}$ میکرومولا) بر جریان های کلسیمی فعال شده در پتانسیل نگهدارنده $-90\text{-}40$ میلی ولت (A) و پتانسیل نگهدارنده $-40\text{-}30$ میلی ولت (B). اثر سرب ($3\text{ }\mu\text{M}$ میکرومولا) بر جریان های کلسیمی فعال شده در پتانسیل نگهدارنده $-90\text{-}40$ میلی ولت (C) و پتانسیل نگهدارنده $-40\text{-}30$ میلی ولت (D). از تست آماری ANOVA یکطرفه استفاده شد. احتمال بصورت $P<0.05$ *؛ $P<0.01$ **؛ $P<0.001$ *** نشان داده شده است.

بحث

نتایج این بررسی نشان داد که در جسم سلولی نورون F77 حداقل دو جریان کلسیمی HVA وجود دارد. جریان کلسیمی حساس به نیفتیپین و جریان کلسیمی مقاوم به نیفتیپین. از طرفی خصوصیات

سرب ($0.6\text{ }0\text{ و }3\text{ }\mu\text{M}$ میکرومولا) تا حدودی به سمت ولتاژهای هیپرپلاریزه جایجا می شود (شکل ۶). بین دو غلظت سرب از نظر کاهش حداکثر جریان کلسیمی تفاوت معنی دار وجود ندارد.

جدول ۱ - ویژگی‌های پتانسیل عمل در رینگر طبیعی و رینگر بدون سدیم - پناسیم. از تست آماری Student's t-test استفاده و احتمال بصورت $P<0.05$ * نشان داده شده است.

قله پتانسیل عمل (mV)	مدت پتانسیل عمل (mS)	آستانه فعال شدن (mV)	پتانسیل استراحت غشاء (mV)	
-۳۵/۲±۱/۴	۵/۷±۱	-۲۵/۸±۱/۸	-۴۸/۲±۱/۵	رینگر طبیعی (n=۸)
-۲۶/۷±۱/۵	۴۰/۲/۸±۷/۸	-۳۱/۶±۲/۴	-۴۶/۷±۲/۸	رینگر بدون سدیم - پناسیم قبل از نیفتیپین (n=۹)
-۲۳/۴±۱/۸	۳۰/۶±۴/۳*	-۲۶/۲±۲/۰/۲	-۴۱/۵±۱/۷	رینگر بدون سدیم - پناسیم بعد از نیفتیپین (n=۹)

جدول ۲ - ویژگی‌های پتانسیل عمل در رینگر بدون سدیم - پناسیم قبل و بعد از استفاده از محلول استاندارد سرب ۰/۶ میکرومولار در دقایق پنجم، هشتم و دوازدهم. از تست آماری Student's t-test استفاده و احتمال به صورت $P<0.05$ * نشان داده شده است.

n=۶	n=۷	n=۸	قبل از سرب	پتانسیل استراحت غشاء (mV)
دقیقه دوازدهم	دقیقه هشتم	دقیقه پنجم	آستانه فعال شدن (mV)	
-۳۵/۲±۱/۸	-۳۵/۸±۱/۷	-۳۶/۴±۱/۳	-۳۹/۵±۱/۴	پتانسیل استراحت غشاء (mV)
-۲۱/۰±۱/۶	-۲۲/۷±۱/۱	-۲۳/۸±۱	-۲۵/۴±۱/۲	آستانه فعال شدن (mV)
۱۰۱/۱±۴۹/۸*	۱۰۱/۱±۴۹/۸*	۲۰/۶±۵۳/۴	۳۶۲/۶±۴۰	مدت پتانسیل عمل (mS)
۱۸±۲/۷*	۲۰/۹±۱/۰	۲۲/۶±۱/۱	۲۷±۱/۶	قله پتانسیل عمل (mV)

جدول ۳ - ویژگی‌های پتانسیل عمل در رینگر سدیم - پناسیم قبل و ۵ دقیقه بعد از استفاده از محلول استاندارد سرب ۳ میکرومولار. از تست آماری Student's t-test استفاده و احتمال به صورت $P<0.01$ ؛ * $P<0.05$ ** نشان داده شده است.

n=۶	n=۷	n=۸	قبل از سرب	پتانسیل استراحت غشاء (mV)
دقیقه هشتم	دقیقه پنجم	آستانه فعال شدن (mV)		
-۳۲±۲/۷	-۳۱/۳±۱/۹*	-۳۸/۹±۱/۱	۳۷/۷±۳۰/۹	آستانه فعال شدن (mV)
-۲۱/۳±۱/۷	-۲۰/۷±۱/۷	-۲۰/۹±۰/۹	۳۷/۷±۳۰/۹	مدت پتانسیل عمل (mS)
۶۷/۴±۱۱/۳**	۱۲۳/۹±۰/۶**	۲۸±۰/۹	۲۸±۰/۹	قله پتانسیل عمل (mV)
۲۰/۹±۲/۸	۱۸/۸±۳*			

جدول ۴- ویژگی‌های جریان‌های کلسمی. جریان کل کلسمی و جریان مقاوم به نیفدبین به وسیله پتانسیل‌های فرمانی مختلف و از دو ولتاژ نگهدارنده ۹۰- و ۴۰- میلی ولت فعال شده‌اند.

قله جریان کلسمی (nA)	ولتاژ قله جریان کلسمی (mV)	ولتاژ آستانه فعال شدن (mV)	ولتاژ نگهدارنده پتانسیل نگهدارنده	جریان کل کلسمی (n=۶)
-۲/۱۸±۰/۴	+۱±۰/۶	-۳۱/۳±۰/۰۴	VH=-۹۰ mV	جریان کل کلسمی (n=۶)
-۱/۹±۰/۳۷	۰/۶±۰/۰	-۳۱/۲±۰/۰۳	VH=-۴۰ mV	جریان مقاوم به نیفدبین (n=۶)
-۱±۰/۲	-۰/۶±۰/۴	-۳۱/۶±۰/۱	VH=-۹۰ mV	جریان مقاوم به نیفدبین (n=۶)
-۰/۷۳±۰/۳۷	-۰/۶±۰/۰۳	-۳۱/۸±۰/۴	VH=-۴۰ mV	

تحت تأثیر سرب کاهش می‌یابند.

ویژگی‌های تحریک پذیری سلول در Current Clamp در محیط یونی طبیعی با تحریک الکتریکی سلول، قسمت اعظم جریان رو به داخل به وسیله یون‌های سدیم حمل می‌شود. فعالیت نوری‌نی تحت تأثیر تغییرات موضعی غلظت پتانسیم و سدیم خارج سلولی قرار می‌گیرد [۱]. اکزوودن TTX (مهارکننده اختصاصی کانال‌های سدیمی) به محیط خارج سلولی، موجب کاهش دامنه، قله و حداقل سرعت مرحله بالا رو به پتانسیل عمل می‌شود [۲۰]. کاهش غلظت پتانسیم خارج سلولی و یا کاربرد مهارکننده کانال‌های پتانسیمی مانند Cl- TEA-Cl و 4-AP (۱ μ M) موجب طولانی شدن مرحله رپلاریزاسیون و مدت پتانسیل عمل می‌گردد [۲۶، ۲۷]. 4-AP نه تنها از طریق مهار جریان رو به خارج پتانسیمی بلکه به طور مستقیم هم موجب تسهیل جریان رو به داخل کلسمی می‌شود [۳۷]. کانال‌های یونی که به کلسمی نفوذ پذیرند، نقش مهمی در تولید پتانسیل عمل و در تعیین شکل آن دارند. در این بررسی پتانسیل استراحت غشاء سلول در رینگر بدون سدیم - پتانسیم حدود ۴۰- میلی ولت است. در این پتانسیل به دنبال تحریک الکتریکی سلول، کانال‌های

الکتروفیزیولوژیک این جریان‌های کلسمی ثبت شده تحت شرایط Current Clamp و Voltage Clamp بعد از افزودن سرب تغییر یافت که خود بیانگر اثر مهاری سرب بر کانال‌های وابسته به ولتاژ کلسمی است. اصولاً حیواناتی که در محیط آلووده زندگی می‌کنند، می‌بایست تا حدودی با شرایط جدید تطابق پیدا کنند در غیر اینصورت روندهای فیزیولوژیک آنها آسیب خواهد دید و زندگی آنها به مخاطره می‌افتد. راههای تطابق اندام‌های مختلف واعمال مختلف تحت این شرایط بستگی به مکانیزم‌های سلولی خاص دارد. در مورد سیستم عصبی، روندهای غشایی پایه هدف فلرات سنتگین قرار می‌گیرند و منجر به تغییراتی در جریان‌های غشایی، حساسیت شیمیایی، انتقال عصبی، متابولیسم و رهایش ترانس‌میترها می‌شوند. یون‌های فلری مختلف ممکن است اهداف سلولی مختلف داشته باشند و اثرشان وابسته به نوع و خصوصیات نورون هاست. در این مطالعه که با هدف شناسایی و تعیین انسواع کانال‌های کلسمی موجود در جسم سلولی سورون F77 بررسی اثر سرب بر جریان‌های کلسمی و پتانسیل عمل کلسمی انجام شد، مشخص گردید که جریان‌های کلسمی HVA که عمدتاً حساس به نیفدبین هستند،

همزمان با آن فعال می‌شوند می‌تواند پوشیده شوند، ضروری است که برای ثبت جریان‌های رو به داخل تمامی جریان‌های رو به خارج پتانسیمی مهار گردند. به همین منظور ترا اتیل آمونیوم کلراید (μM ۸۴) برای مهار جریان پتانسیمی تأخیری (delayed rectifier) و ۴-آمینوپیریدین (4-AP) با غلظت 5 mM برای مهار جریان سریع پتانسیمی رو به خارج استفاده شد. در این تحقیق امکان ثبت جریان کل رو به داخل از پتانسیل نگهدارنده $90\text{-}90\text{ میلی ولت}$ در رینگر طبیعی نبود. دلیل آن می‌تواند این باشد که در این پتانسیل کانال‌های پتانسیمی بیشتری به ویژه کانال‌های سریع رو به خارج پتانسیمی (I_A) بیشتری از حالت غیر فعال خارج شده‌اند و در واقع می‌توانند با دپلاریزاسیون فعال شوند و جریان رر به داخل را در تمامی پتانسیل‌های فرمانی بیوشناند [۶، ۷].

همانطور که شکل ۵ نشان می‌دهد، در نورون F77 آستانه فعال شدن جریان‌های کلسیمی پتانسیل فرمانی حدود 30 میلی ولت است. در پتانسیل‌های فرمانی دپلاریزه‌تر، میزان جریان کلسیمی به تدریج افزایش می‌یابد چراکه با افزایش دپلاریزاسیون کانال‌های کلسیمی بیشتری باز می‌شوند. این افزایش تا پتانسیل فرمانی خاصی ادامه می‌یابد و بعد از آن کاهش جریان کلسیمی مشاهده می‌شود که بیانگر بسته شدن یا غیر فعال شدن کanal کلسیمی است. قله جریان از ولتاژ نگهدارنده -40 میلی ولت کمتر از قله جریان از ولتاژ -90 میلی ولت است لکن کیتیک جریان‌های کلسیمی، مانند واپسیه به ولتاژ بودن این جریان و ولتاژی که در آن جریان به حداقل میزان خود می‌رسد، در هر دو پتانسیل نگهدارنده $-90\text{ و }-40\text{ میلی ولت}$ مشابه است (حدود صفر میلی ولت). در نورون‌های نئوکورتیکال موش سفید صحرایی نیز نتایج مشابهی گزارش گردیده است [۲۹]. دلایل چندی پیشنهاد

کلسیمی نوع HVA می‌تواند باز شوند [۴۲] و چون این کانال‌ها به کندی غیر فعال می‌گردند، بنابراین مرحله دپلاریزاسیون پتانسیل عمل و در واقع مدت پتانسیل عمل طولانی می‌گردد. در همین رابطه Kirkpatrick (۱۹۹۱) گزارش کرد که کانال‌های کلسیمی نوع HVA در طولانی شدن پتانسیل عمل در طی شلیک مکرر نورون سوپرا اپتیک موش سفید صحرایی (rat) نقش داردند [۲۶]. بنابراین همانطور که در این مطالعه هم نشان داده شد، انتظار می‌رود نیوفدیپین (μM ۱) به عنوان مهار کننده اختصاصی کانال کلسیمی نوع L موجب کاهش معنی‌دار مدت پتانسیل عمل گردد ($P < 0.05$). نتیجه این تحقیق نشان می‌دهد که در سلول F77 کانال کلسیمی نوع L در ایجاد پتانسیل عمل کلسیمی نقش اساسی دارد. از طرفی افزودن سرب ($0.6\text{ و }3\text{ میکرومولار}$) به محیط خارج سلولی باعث کاهش قله و مدت پتانسیل عمل گردید. با توجه به اینکه پتانسیل عمل برانگیخته شده در رینگر فاقد سدیم و پتانسیم، کلسیمی است، بنابراین به نظر می‌رسد سرب با تأثیر بر جریان‌های کلسیمی غشاء روی ویژگی‌های پتانسیل عمل کلسیمی اثر می‌گذارد. در تحقیق حاضر نتایج Voltage Clamp کاهش معنی‌دار جریان کلسیمی کانال HVA را به وسیله سرب نشان می‌دهد و از آنجا که این کانال کلسیمی در مرحله کفه پتانسیل نقش دارد، بنابراین کاهش مدت پتانسیل عمل تحت تأثیر سرب قابل توجیه است.

ویژگی‌های الکتروفیزیولوژیک جریان‌های کلسیمی در : Voltage Clamp

در نورون‌های نرم تنان، جریان رو به خارج خیلی بزرگتر از رو به داخل هستند [۲۹، ۷]. از آنجا که جریان رو به داخل به وسیله جریان‌های رو به خارج پتانسیمی که

کلسیمی HVA حساس به نیکل و یا حتی یک نوع کanal کلسیمی LVA با آستانه بالای فعال شدن باشد. برخی از یون‌های دو ظرفیتی مانند نیکل برای چسبیدن به محل‌های خاص در داخل کanal کلسیمی با یون کلسیم رقابت می‌کنند. نیکل به عنوان مهار کننده اختصاصی کanal‌های کلسیمی نوع T شناخته شده است [۳۲] که با غلظت (۱ mM) موجب ۵۰٪ کاهش در جریان کلسیمی نورون پیتیدارژیک Crustacean می‌شود [۳۶]. با توجه به اینکه این نورون فقط جریان کلسیمی نوع HVA را نشان می‌دهد به نظر می‌رسد نیکل در غلظت‌های میلی‌مولار، مشابه غلظتی که ما در این تحقیق استفاده کرده‌ایم روی جریان‌های کلسیمی HVA هم مؤثر است. بررسی‌های متعدد نشان می‌دهند که سایر فلزات دو ظرفیتی نیز می‌توانند اثر مهاری بر روی کanal‌های کلسیمی داشته باشند.

با صنعتی شدن جوامع بشری آلودگی محیط زیست با فلزات سنگین دو ظرفیتی از جمله سرب رو به افزایش است. ذرات سرب با قطر کمتر از ۱۰ μm مستقیماً از طریق ریه‌ها جذب می‌شوند. سرب ممکن است از طریق لوله گوارش هم وارد بدن گردد [۱۱]. غلظت سرب در مایعات بدن از جمله خون، بزاق و ادرار کمتر از ۱۰ μM در لیتر گزارش شده است [۱۹، ۴۷] که نوروتوكسیک نمی‌باشد [۱۰].

در رابطه با غلظتی از سرب که موجب ۵۰٪ کاهش در جریان کلسیمی می‌شود، تاکنون تحقیقات انجام شده نتایج متفاوتی را گزارش کرده‌اند. مقدار IC₅₀ در نورون‌های DRG موش سفید صحرایی $0.6 \mu\text{M}$ [۱۶]، در نورون‌های Aplysia آب شیرین که غلظت کلسیم آن ۲۰ میلی‌مولار است [۴] $52 \mu\text{M}$ و در سلول‌های PC12 که حاوی جریان کلسیمی نوع HVA است $50 \mu\text{M}$

می‌کنند که این جریان از طریق کanal‌های کلسیمی نوع HVA حمل می‌شود. نخست اینکه جریان کلسیمی ثبت شده به آهستگی غیر فعال می‌شود. ثانیاً منحنی جریان - ولتاژ بیانگر این است که این جریان در ولتاژ‌های دپلاریزه‌تری نسبت به جریان LVA شروع به فعال شدن می‌کند (بین ۳۰-۲۰-میلی‌ولت) و قله آن در ولتاژ حدود صفر میلی‌ولت ظاهر می‌شود. با توجه به اینکه قله جریان کلسیمی فعال شده در پتانسیل نگهدارنده ۹۰-میلی‌ولت بیش از پتانسیل نگهدارنده ۴۰-میلی‌ولت است، احتمالاً در جسم سلولی این نورون علاوه بر جریان‌های کلسیمی نوع HVA، جریان‌های کلسیمی دیگری هم وجود دارد و یا یک نوع جریان کلسیمی HVA با دو کیتیک متفاوت است.

بعد از افروden نیفیدیپین (μM) ۱ بخش عمداتی از این جریان مهار می‌شود و اثر نیفیدیپین در کاهش جریان کلسیمی در پتانسیل نگهدارنده ۴۰-میلی‌ولت نسبت به پتانسیل نگهدارنده ۹۰-میلی‌ولت بیشتر می‌باشد. بررسی‌های دیگر در این زمینه نتایج مشابهی را نشان داده‌اند [۲۸، ۲۲، ۱۸]. علت اثر بیشتر نیفیدیپین در پتانسیل نگهدارنده ۴۰-میلی‌ولت نسبت به پتانسیل نگهدارنده ۹۰-میلی‌ولت این است که در پتانسیل نگهدارنده ۴۰-میلی‌ولت به طور عمدت تنها کanal‌های کلسیمی نوع HVA به خصوص نوع L می‌توانند با دپلاریزاسیون فعال شوند. بنابراین کanal کلسیمی نوع L بخش بزرگتری از جریان کل کلسیمی را در این پتانسیل حمل می‌کنند [۱۴]. با توجه به ویژگی‌های جریان مقاوم به نیفیدیپین (جدول ۴) به نظر می‌رسد این جریان از طریق کanal‌های کلسیمی نوع HVA هدایت می‌شود. از طرف دیگر مهار جریان کلسیمی مقاوم به نیفیدیپین به وسیله نیکل (4 mM) می‌تواند بیانگر وجود یک نوع کanal

باعث جابجایی منحنی جریان - ولتاژ به سمت ولتاژهای دپلاریزه می‌شود [۴، ۵]. در تحقیق کنونی اثر مهار سرب سریع بود به طوری که بعد از ۵ دقیقه منجر به کاهش معنی‌دار جریان کلسیمی می‌شد البته این کاهش با گذشت زمان افزایش می‌یافتد. اثر سریع سرب نشان می‌دهد که احتمالاً سرب از سطح خارج سلولی و از طریق اتصال به محلهای باردار در سطح خارجی کانال عمل مهاری خود را اعمال می‌کند ولی کاهش بیشتر جریان کلسیمی با گذشت زمان یا به عبارتی اثر آهسته سرب می‌تواند ناشی از ورود سرب به داخل سلول باشد. در این صورت سرب از طریق مکانیسم‌های داخلی سلولی اثر مهاری خود را اعمال می‌کند [۴۱]. Simons-Pocock (۱۹۸۷) نشان دادند که قراردادن سلولهای کرومافینی بخش مرکزی کلیه گوساله در معرض سرب به مدت ۲۰ دقیقه موجب ورود قابل ملاحظه سرب به داخل سلول می‌شود [۳۹].

در بررسی حاضر تشابه اثرات نیفتیپین و سرب بر روی کیتیک جریان کلسیمی مانند کاهش جریان در تمامی ولتاژها و جابجایی اندک در منحنی جریان - ولتاژ به سمت ولتاژهای هیپرپلاریزه‌تر این احتمال را که سرب وارد سلول شود را رد می‌نماید. مقایسه منحنی جریان - ولتاژ قبل و بعد از استفاده از سرب نشان می‌دهد که سرب باعث کاهش جریان کلسیمی در تمامی ولتاژها و جابجایی اندک در منحنی جریان ولتاژ به سمت پتانسیل‌های هیپرپلاریزه‌تر می‌گردد و این جابجایی با افزایش غلظت سرب افزایش می‌یابد (شکل ۶).

نتایج مشابهی به وسیله Evans (۱۹۹۱) و Busselberg (۱۹۹۳) در نورون‌های شاخ خلفی نخاع موش سفید صحرا ای گزارش شده است. آنها نشان دادند که سرب با غلظت‌های بین ۰/۲۵ تا ۰/۷۶ میکرومول موجب جابجایی در منحنی جریان - ولتاژ نمی‌گردد [۱۶،

۱۶]. گزارش شده است [۸]، بخشی از این تفاوت در IC_{50} سلول‌های مختلف می‌تواند به دلیل حساسیت متفاوت نورون‌ها نسبت به سرب باشد [۴۴، ۳۳، ۱۶] و تفاوت در حساسیت هم می‌تواند احتمالاً مربوط به نوع و توزیع کانال‌های کلسیمی در نورون‌های مختلف باشد. Evans (۱۹۹۱) گزارش کرد که حساسیت کانال‌های کلسیمی نوع N نسبت به سرب بیش از کانال‌های کلسیمی نوع L و کانال‌های کلسیمی نوع L بیش از کانال‌های کلسیمی نوع T است [۱۶]. بخش دیگر از این تفاوت در IC_{50} سلول‌های مختلف می‌تواند ناشی از غلظت کلسیم در محیط خارج سلولی باشد. هر چه غلظت کلسیم در محیط خارج سلولی بیشتر باشد IC_{50} افزایش می‌یابد [۵]. در این مطالعه مقایسه تشابه اثر مهاری نیفتیپین و سرب Current Clamp و Voltage Clamp تحت شرایط موجب و نشان می‌دهد که هر دو احتمالاً جریان کلسیمی فعال شده در ولتاژهای بالا، به ویژه نوع L را کاهش می‌دهند.

مکانیسم عمل مهاری سرب

چندین مکانیسم احتمالی برای عمل مهاری فلزات سنگین از جمله سرب بر کانال‌های کلسیمی وابسته به ولتاژ پیشنهاد شده است. سرب می‌تواند با اتصال به جایگاهی خاص در داخل کانال باعث مهار مستقیم کانال کلسیمی و کاهش در تعداد یون‌هایی که از کانال کلسیمی عبور می‌کنند، گردد [۴۴، ۵]. همچنین سرب می‌تواند در ضمن فعال شدن کانال کلسیمی از کانال‌های کلسیمی عبور نماید و با فعال کردن پروتئین کیناز C موجب کاهش دامنه جریان کلسیمی شود [۱۳، ۳۹]. سرانجام سرب می‌تواند با بارهای منفی موجود در سطح خارجی غشاء سلول بر اساس پدیده‌ای موسوم به Charge Screening واکنش نماید. در این صورت سرب

کلسمی است. به هر حال جهت روشن شدن مکانیسم دقیق اثر مهاری سرب نیاز به بررسی بیشتر به ویژه با استفاده از مهار کننده‌های پروتئین کیناز و یا اندازه‌گیری سرب در داخل سلول می‌باشد.

تشکر و قدردانی

هزینه انجام این پژوهه توسط معاونت پژوهشی دانشگاه علوم پزشکی شهید بهشتی به منظور انجام طرح پژوهشی تأمین گردیده که بدین وسیله تشکر و قدردانی می‌شود. بخشی از نتایج آزمایش‌ها در چهاردهمین کنگره فیزیولوژی و فارماکولوژی ایران ارائه شد و به عنوان مقاله برتر معرفی گردید.

منابع

- [1] Belluzzi O., and Sacchi O. A five-conductance model of the action potential in the rat sympathetic neurone. *Prog. Biophys. Molec. Biol.*, 55 (1991) 1-30.
- [2] Busselberg D., Platt B., Michael D., Carpenter D. O. and Haas H.L. Mammalian voltage-activated calcium channel currents are blocked by Pb^{2+} , Zn^{2+} and Al^{3+} . *J. Neurophysiol.* 71 (1994) 1491-1497.
- [3] Busselberg D. Michael D., and Platt. B. Pb^{2+} reduces voltage and N.Methyl-D-Aspartate (NMDA)- activated calcium channel currents. *Cell. Mol. Neurobiol.*, 14 (1994) 711-722.
- [4] Busselberg D., Evans M.L., Haas H.L. and Carpenter D.O. Blockade of mammalian and invertebrate calcium channels by lead. *Neurotoxicol.* 14 (1993) 249-258.
- [5] Busselberg D., Evans M.L., Rahmann H., and Carpenter D.O. Lead and Zinc block a voltage-activated calcium channel of Aplysia neurons. *J. Neurophysiol.* 65 (1991) 786-795.
- [6] Connor J.A. and stevens C.F. Voltage clamp studies of a transient outward membrane current in Gastropod neural somata. *J. Physiol.* 213 (1971) 21-30.
- [7] Connor J.A. and stevens C.F. Inward and delayed outward membrane current in isolated neural somata under voltage clamp. *J. Physiol.* 213 (1971) 1-20.
- [8] Collen C.H., Vjekoslav M. Acute exposure to inorganic lead modifies high-threshold voltage-gated calcium currents in Rat PC12 cells. *Brain Res.* 738 (1996) 333-336.
- [9] Colleen C.H., Vjekoslav M. Chronic exposure to inorganic lead increases high threshold voltage gated calcium currents in Rat pheochromocytoma (PC12) cells. *Brain Res.* 772 (1997) 63-70.
- [10] Davis J.M., Elias R.W. and Grant L.D. Current issues in human lead exposure and regulation of lead. *Neurotoxicol.* 14 (1993) 15-28.
- [11] Dalton C.B., McCammon J.B., Hoffman R.E. and Baron R.C. Blood lead levels in raditor repair workers in Colorado. *JOEM.* 39 (1997)

58-62.

- [12] Deborah C.R. Behavioral effects of lead: Commonalities between experimental and epidemiologic data. *Environ. Health Perspect.* 104 (1996) 337-351.
- [13] Domann R., Wunder L. and Busselberg D. Lead reduces depolarization induced calcium entry in cultured DRG neurons without crossing the cell membrane: Fura-2 measurements. *Cell. Mol. Neurobiol.* 17 (1997) 305-314.
- [14] Eliot L.S. and Johnson D. Types of calcium currents in acutely dissociated dentate granule neurons. *J. Neurophysiol.* 72 (1994) 762-777.
- [15] Ertel S. and Ertel E.A. Low-voltage activated T-type Ca^{2+} Channels. *TIPS.* 18 (1997) 37-42.
- [16] Evans M.L., Busselberg D. and Carpenter D.O. Pb^{2+} blocks calcium currents of cultured dorsal root ganglion cells. *Neuroscience Lett.* 129 (1991) 103-106.
- [17] Fisher T.E., Bourque C.W. Voltage gated calcium currents in the magnocellular neurosecretory cells of the rat supraoptic nucleus. *J. Physiol.* 486 (1995) 571-579.
- [18] Foehring R.C. and Armstrong W.E. Pharmacological dissection of high voltage activated Ca^{2+} current types in acutely dissociated rat supraoptic magnocellular Neurons. *J. Neurophysiol.* 76 (1996) 977-983.
- [19] Gonzales M., Banderas J.A., Baez A., Belmont R. Salivary lead and cadmium in a young population residing in Mexico city. *Toxicol. Lett.* 93 (1997) 55-64.
- [20] Hollins B. and Ikeda S.R. Inward currents underling action potentials in rat adrenal chromaffin cells. *J. Neurophysiol.* 76 (1996) 1195-1121.
- [21] Janahmadi M., Malmierca M.S., Hearne P.G., Green G.G.R. and Sanders D.J. Morphological and physiological features of F77 and D1 neurones of the subesophageal ganglia of *Helix aspersa* in vitro and in culture. *Anat. Embryol.*, 199 (1999) 563-572.
- [22] Jones S.W. and Jacobs L.S. Dihydropyridine actions on calcium currents of frog sympathetic neurons. *J. Neurosci.* 10 (1990) 2261-2267.
- [23] kerper L.E. and Hinkle P.M. Lead uptake in brain capillary endothelial cells: Activation by calcium store depletion. *Toxicol. Applied Pharmacol.*, 146 (1997) 127-133.
- [24] Ito K., Miura M., Furuse H., Zhixiong C., Kato H., Yasutomi D., Inoue T., Mikoshiba K., Kimura T., Sakakibara S. and Miyakawa H. Voltage gated Ca^{2+} channel blockers, ω -Agatoxin and Ni^{2+} , suppress the induction of θ -burst induced long term potentiation in guinea-pig hippocampal CA1 neurons. *Neurosci. Lett.* 183 (1995) 112-115.
- [25] Kerkut G.A., Lambert J.D.C., Gayton R.J., Loker J.E. and Walker R.J. Mapping of nerve cells in the suboesophageal ganglia of *Helix aspersa*. *Comp. Biochem. Physiol.*, 50 (1975) 1-25.
- [26] Kirkpatrick K. and Bourque C.W. Dual role for calcium in the control of spike duration in rat supraoptic neuroendocrine cells. *Neurosci. Lett.* 133 (1991) 271-274.
- [27] Laszlog H.J., Henry Sershen, Sylverster E. Vizi and Abel Lajtha. N-type calcium channels are involved in the dopamine releasing effect of nicotine. *Neurochem. Res.* 17 (1992) 729-734.
- [28] Lorenzon N.M. and Foehring R.C. Characterization of pharmacologically identified voltage gated calcium channel currents in acutely isolated rat neocortical neurons. I. Adult neurons. *J. Neurophysiol.* 73 (1995) 1430-1443.
- [29] Lorenzon N.M. and Foehring R.C. Characterization of Pharmacologically identified voltage calcium channel currents in acutely isolated rat neocortical neurons. II. Postnatal development. *J. Neurophysiol.* 73 (1995) 1443-1451.
- [30] Magee J., Avery R.B., Christit B.R. and Johnston D. Dihydropyridine sensetive, voltage gated Ca^{2+} channels contribute to the resting intracellular Ca^{2+} concentration CA1 pyramidal neurons. *J. Neurophysiol.* 76 (1996) 3460-3470.
- [31] Madeja M., Muhhoff U., Binding n., Witting U. Effects of Pb^{2+} on delayed rectifier

- potassium channels in acutely isolated hippocampal neurons. *J. Neurophysiol.*, 78 (1997) 2649-2654.
- [32] Nooney J.M., Lambert R.C. and Feltz A. Identifying neuronal non-L Ca^{2+} channels more than stamp collecting? *TIPS.*, 18 (1997) 363-371.
- [33] Platt B. and Busselberg D. Combined actions of Pb^{2+} , Zn^{2+} and Al^{3+} on voltage activated calcium channel currents. *Cell. Mol. Neurobiol.*, 14 91994) 831-840.
- [34] Peineau N., Garnier D. and Argibay J.A. Rate dependence of action potential duration and calcium current in isolated guinea-pig cardiocytes. *Exp. Physiol.* 77 (1992) 615-625.
- [35] Przysiezniak J. and Spencer A.N. Voltage activated calcium currents in identified neuron from a Hydrozoan Jellyfish, Polyorchis. Penicillatus. *J. Neurosci.* 12 (1992) 2065-2078.
- [36] Richmond J.E., Sher E. and Cooke I.M. Charactrization of the Ca^{2+} current in freshly dissociated crustacean peptidergic neuronal somata. *J. Neurophysiol.* 73 (1995) 2357-2367.
- [37] Rogawski M.A. and Barker J.L. Effects of 4-aminopyridine on calcium action potentials and calcium current under voltage clamp in spinal neurons. *Brain Res.* 280 (1983) 180-185.
- [38] Simons T.J.B. Calcium and neuronal function. *Neurosurg. Rev.* 11 (1988) 119-129.
- [39] Simons T.J.B. and Pocock G. Lead enters bovine adrenal medullary cells through calcium channels. *J. Neurochem.* 48 (1987) 383-389.
- [40] Sun L.R. and Suszkiw J.B. Extracellular inhibition and intracellular enhancement of Ca^{2+} currents by Pb^{2+} in bovine adrenal chromaffin cells. *J. Neurophysiol.* 74 (1995) 574-581.
- [41] Sundgren Anderson A.K., Johansson S. Calcium spikes and calcium currents in neurons from the medial preoptic nucleus of rat. *Brain Res.* 783 (1998) 194-209.
- [42] Swandulla D., Carbone E. and Lux H.D. Do calcium classification account for neuronal calcium channel diversity? *TINS.* 14 (1991) 46-51.
- [43] Szucs A., Salanki J. and Roza K.S. Effects of chronic exposure to cadmium or lead enriched environments on ionic currents of identified neurons in lymnaea stagnalis L. *Cell. Mol. Neurobiol.* 14 (1994) 769-779.
- [44] Taylor P.S. Selectivity and patch measurment of A-current in *Helix aspersa* neurones. *J. Physiol.* 383 (1987) 437-447.
- [45] White E. and Terrar D.A. Action potential duration and the inotropic response to reduced extracellular potassium in guinea-pig ventricular myocytes. *Exp. Physiol.* 76 (1991) 705-716.